

Анализ систематических разностей параллаксов в каталогах TGAS и Hipparcos

© 2017 г.

Санкт-Петербургский государственный университет, СПб¹

Проведено сравнение тригонометрических параллаксов каталогов Hipparcos 2 и TGAS. Определены коэффициенты разложения систематических разностей параллаксов по сферическим функциям в эклиптической системе координат. Проведен анализ значимых гармоник.

Ключевые слова: астрометрия, собственные движения звезд, параллаксы, сферические функции, Hipparcos

1. Введение

Сравнение каталогов является классической задачей фундаментальной астрометрии, позволяющей переходить от одной системы к другой, оценить уровень систематических ошибок. До недавнего времени могло проводиться сравнение лишь положений и собственных движений. Появление первых результатов миссии GAIA, в частности, каталога TGAS, позволило впервые произвести сравнение тригонометрических параллаксов общих звезд каталогов TGAS и Hipparcos, а именно его второй версии XHIP (XHIP: An extended hipparcos compilation, Anderson, 2012). Каталог TGAS содержит 2057050 звезд с данными о тригонометрических параллаксах, включает в себя только звезды Hipparcos и Tycho 2 и не является в полном смысле независимым продуктом, т.к. использует в качестве первой эпохи данные этих двух каталогов. Для сравнения мы используем общие звезды XHIP и TGAS, которых оказалось 93635.

2. Выбор общих звезд и построение разницы параллаксов

За счет того, что у звезд обоих каталогов есть идентификатор в каталоге Hipparcos, их данные можно объединить. То есть в объединенном каталоге у каждой звезды помимо идентификатора в каталоге Hipparcos будут все прочие данные, которые есть в каталогах TGAS и XHIP. В каталоге XHIP 117955 звезд. В каталоге TGAS 2057050 звезд. В объединенном каталоге 93635 звезд.

Из каталога TGAS нас будут интересовать поля

- hip – идентификатор звезды в каталоге Hipparcos
- π_{tgas} – абсолютный барицентрический параллакс звезды на момент эпохи каталога, указан в mas
- $\sigma_{\pi_{tgas}}$ – стандартное отклонение параллакса звезды на момент эпохи каталога, указан в mas

- l – галактическая долгота на момент эпохи каталога, указана в градусах
- b – галактическая широта на момент эпохи каталога, указана в градусах

Из каталога ХНІР нас будут интересовать поля

- HIP – идентификатор звезды в каталоге Hipparcos
- π_{xhip} – тригонометрический параллакс звезды, указан в mas
- $\sigma_{\pi_{xhip}}$ – стандартное отклонение параллакса звезды, указан в mas,

3. Построение и анализ разности параллаксов

Астрометрические каталоги за долгую историю сравнивали между собой всегда с целью выявления случайных и особенно систематических ошибок на координаты и собственные движения. Впервые в истории появляется возможность сравнить параллаксы, полученные тригонометрическим способом для столь большого количества звезд. К сожалению, параллаксы TGAS и ХНІР не являются независимыми величинами. Корректную процедуру сравнения удастся сделать лишь после выхода по крайней мере GAIA DR2 (ссылка?), где параллаксы будут получены независимо от данных Hipparcos.

Рассмотрим для каждой звезды объединенного каталога величину разности ее параллакса в TGAS и в ХНІР, т.е. $\pi_{xhip} - \pi_{tgas}$. Ошибкой разности, соответственно, будет $\sqrt{\sigma_{\pi_{xhip}}^2 + \sigma_{\pi_{tgas}}^2}$. Для начала выпишем различные статистические характеристики данной величины. Среднее значение – 0.35 mas, Медиана – 0.29 mas, Стандартное отклонение – 1.5 mas, Среднее значение модуля – 1.04 mas, Медиана модуля – 0.76 mas, 99 перцентиль модуля – 4.78 mas

Обычно систематические разности положений и собственных движений изучают в экваториальной, в силу зонного построения каталогов, или галактической системе для массовых звездных каталогов, в которых распределение звезд в этой системе симметрично. [ссылки на работы Витязева и Цветкова] Первое знакомство с систематическими разностями параллаксов (рис. 4) показывает, что присутствует симметрия разностей относительно эклиптики.

Более того, мы видим зависимость между модулем разности параллаксов на рис. 4 и ошибкой параллакса в ХНІР на рис. 6 в эклиптической системе координат. Действительно, коэффициент корреляции между этими величинами на звездах объединенного каталога равен 0.55. Это говорит о том, что чем выше ошибка параллакса ХНІР, тем сильнее он отличается от параллакса TGAS.

4. Анализ больших выбросов

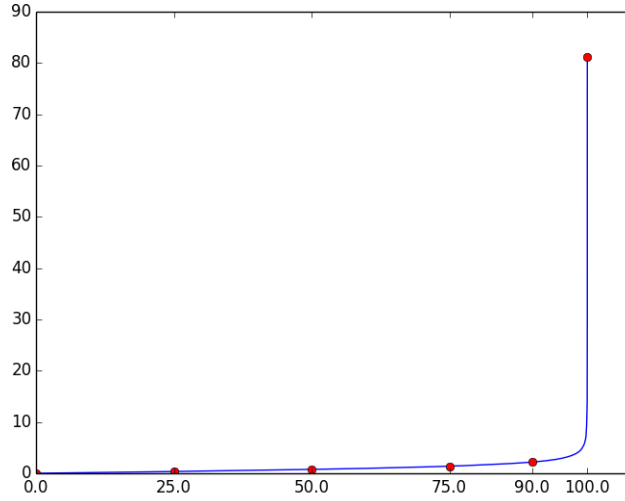


Рис. 1: График перцентиля. По оси x — перцентиль; по оси y — соответствующее значение перцентиля. Так же отмечен 100-й перцентиль со значением 81.15 mas. p -перцентиль — это такое значение x_p , что $P(x \leq x_p) = \frac{p}{100}$. Медиана — это 50-й перцентиль.

Рассмотрим звезды, у которых параллаксы в TGAS и ХНПР значимо различаются, а именно, у которых модуль разности параллаксов больше, чем 3 ошибки этой разности. Таких звезд 2148. Выясним, с чем связаны такие отличия в параллаксах. У таких звезд коэффициент корреляции модуля разности параллаксов с ошибкой параллакса в ХНПР равен 0.87, а с ошибкой в TGAS — 0.1. Т.е. можно утверждать, что большая разница между параллаксами обусловлена большими ошибками параллаксов именно в ХНПР. Явно ошибочными являются параллаксы меньше 0, т.е. это такие параллаксы π , что $\pi < -3\sigma_\pi$. В TGAS таких звезд всего 6, а в ХНПР - 17. Т.е. подобного рода выбросы не должны сильно влиять на усредненные характеристики разности параллаксов TGAS и ХНПР.

5. Анализ разностей с помощью сферических функций

На рис. 4 мы видим явную зависимость в распределении модуля отличия параллаксов по небесной сфере от модуля эклиптической широты (коэффициент корреляции равен -0.7). Подтвердить статистическую значимость данной зависимости и незначимость прочих менее очевидных зависимостей мы можем с помощью представления модуля разности параллаксов через сферические функции. Сферические функции широко используются в различных областях математики и физики, их определение можно найти во многих источниках (см., например, Арфкен, 1970). Впервые были использованы для анализа систематических разностей положений и собственных движений (Броше, 1977). Мы впервые используем этот инструмент для анализа систематических разностей параллаксов.

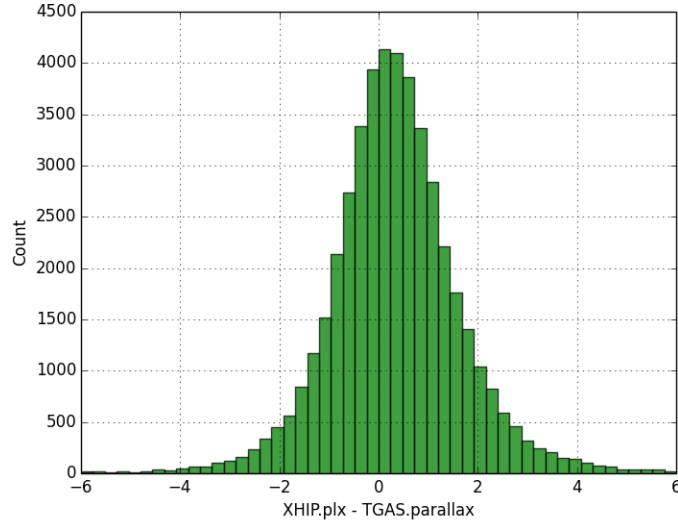


Рис. 2: Гистограмма распределения разности параллаксов XHIP и TGAS. На гистограмме видно, что параллакс в Hipparcos больше, чем параллакс в TGAS, то есть по данным Hipparcos звезды находятся ближе

Представление модуля разницы параллаксов с помощью линейной комбинации сферических функций можно записать следующим образом.

$$\Delta_{plx}(l, b) = \sum_{nkp} \delta_{nkp} K_{nkp}(l, b), \quad (1)$$

где сферические функции имеют вид (Арфкен, 1970):

$$K_{nkp}(l, b) = R_{nk} \begin{cases} P_{n,0}(b), & k = 0, \quad p = 1; \\ P_{nk}(b) \sin kl, & k \neq 0, \quad p = 0; \\ P_{nk}(b) \cos kl, & k \neq 0, \quad p = 1, \end{cases} \quad (2)$$

$$R_{nk} = \sqrt{\frac{2n+1}{4\pi}} \begin{cases} \sqrt{\frac{2(n-k)!}{(n+k)!}}, & k > 0; \\ 1, & k = 0. \end{cases} \quad (3)$$

В формуле (2) через l и b обозначены соответственно долгота и широта точки на сфере, ($0 \leq l \leq 2\pi$; $-\pi/2 \leq b \leq \pi/2$); через $P_{nk}(b)$ — полиномы Лежандра (при $k = 0$) и присоединенные функции Лежандра (при $k > 0$), которые можно вычислить с помощью следующих рекуррентных соотношений:

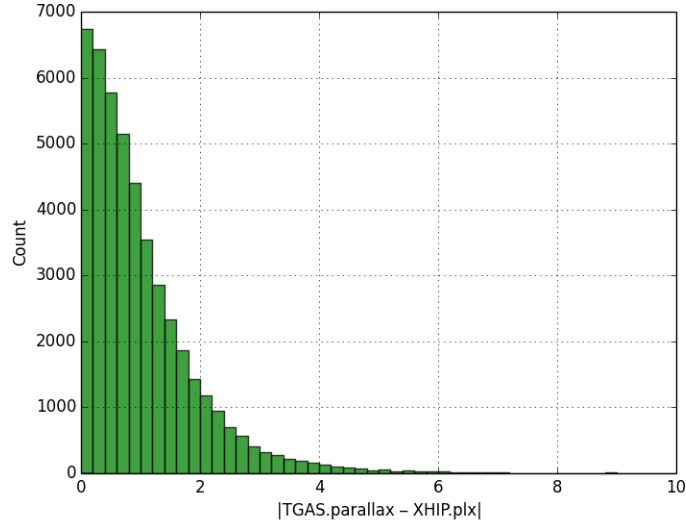


Рис. 3: Гистограмма распределения модуля разности параллаксов XHIP и TGAS

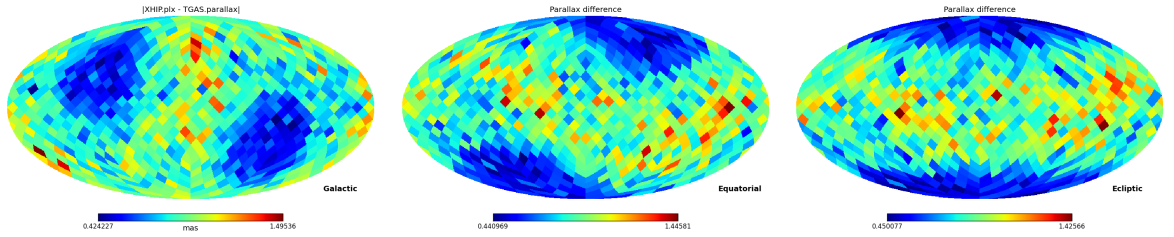


Рис. 4: Распределение модуля разности параллаксов XHIP и TGAS по небесной сфере в галактических, экваториальных и эклиптических координатах. Усреднение в рамках одного «пикселя» Healpix осуществляется взятием медианы.

$$\begin{aligned}
 P_{nk}(b) &= \sin b \frac{2n-1}{n-k} P_{n-1,k}(b) - \frac{n+k-1}{n-k} P_{n-2,k}(b), & k=0, 1, \dots \\
 & & n=k+1, k+2, \dots \\
 P_{kk}(b) &= \frac{(2k)!}{2^k k!} \cos^k b \\
 P_{k+1,k}(b) &= \frac{(2k+2)!}{2^{k+1} (k+1)!} \cos^k b \sin b.
 \end{aligned} \tag{4}$$

Для удобства часто вводят линейную нумерацию функций K_{nkp} и коэффициентов δ_{nkp} одним индексом j , где

$$j = n^2 + 2k + p - 1. \tag{5}$$

Введенные функции удовлетворяют следующим соотношениям:

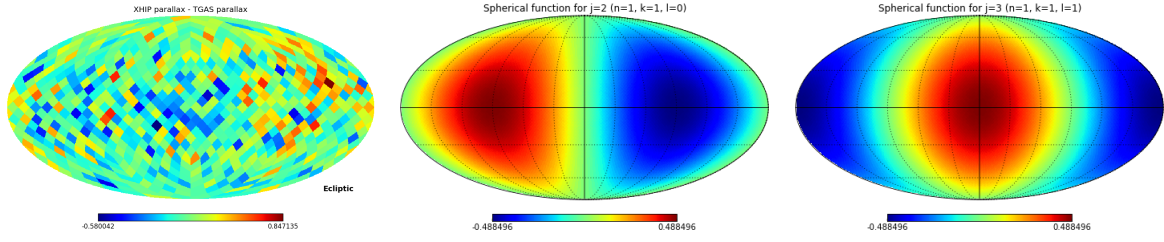


Рис. 5: Распределение разницы параллаксов XHIP и TGAS по небесной сфере в эклиптических координатах и значимые гармоники разложения по сферическим функциям за номерами 2 и 3

$$\iint_{\Omega} (K_i \cdot K_j) d\omega = \begin{cases} 0, & i \neq j; \\ 1, & i = j. \end{cases} \quad (6)$$

Другими словами, набор функций K_{nkp} образуют на сфере ортонормированную систему функций.

Методом наименьших квадратов найдем низкочастотные коэффициенты разложения δ_j на сферические функции в эклиптической системе координат. Низкочастотными коэффициентами считаем такие δ_{nkp} , что $n \leq 6$, т.е. $j \leq 48$. Полученная регрессия имеет значение F-статистики 27.35, т.е. модель является значимой на уровне значимости $1.5 \cdot 10^{-130}$. Это говорит о том, что остальные высокочастотные коэффициенты представляют шумы и нас не интересуют.

Оставим только статистически значимые на уровне «трех сигма» коэффициенты. То есть такие δ_j , что $|\delta_j| > 3\sigma_{\delta_j}$. Данные коэффициенты с ошибками представлены в таблице 1 и на рис. 7

Аналогичную процедуру можно провести с просто разностью параллаксов XHIP и TGAS $\pi_{xhip} - \pi_{tgas}$. Результаты разложения на сферические функции представлены на рис. 5 и в таблице 2

6. Обсуждение

Анализ показывает, что статистически значимые гармоники разложения модуля разности параллаксов XHIP и TGAS по сферическим функциям в эклиптических координатах имеют номера 0, 2, 4, 6, 7, 16, 21, 41. Гармоника за номером 0 - это просто константа. Остальные гармоники как минимум в 4.5 раза менее значимые, чем гармоника за номером 4 (рис. 8). Тем самым, мы можем утверждать, что имеет место зависимость отклонения разности параллакса только от экваториальной долготы, остальные зависимости на сфере незначительны.

Значимость сферической функции K_4 показывает сильное отличие исследуемой величины в районе полюсов и в районе экватора. Чем можно объяснить такое поведение

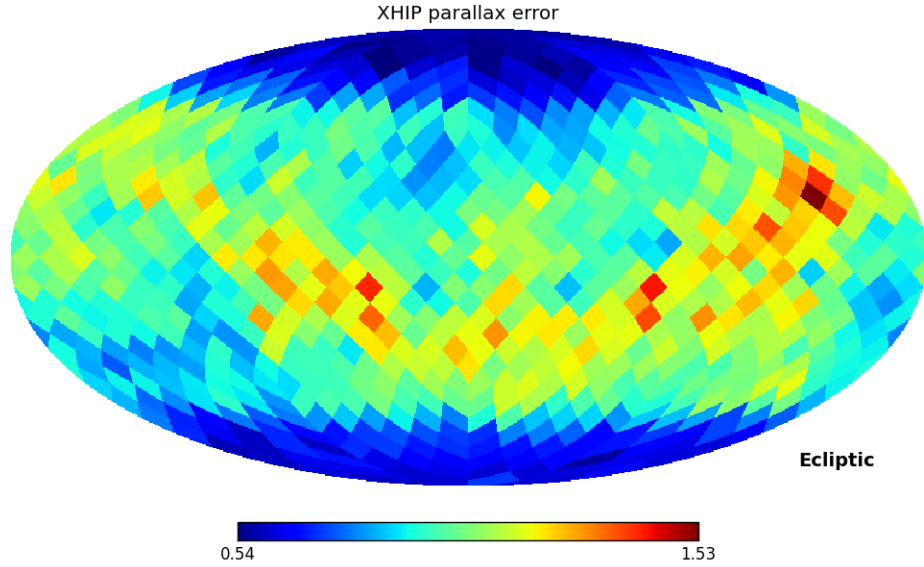


Рис. 6: Распределение ошибки параллакса в ХИП по небесной сфере в эклиптических координатах. Усреднение в рамках одного «пикселя» Healpix осуществляется взятием медианы.

Таблица 1: Статистически значимые коэффициенты разложения модуля разности параллаксов по сферическим функциям в эклиптических координатах

j	δ_j	σ_{δ_j}
0	2.99	0.01
2	-0.04	0.01
4	-0.45	0.01
6	-0.10	0.01
7	0.07	0.01
16	-0.09	0.01
21	-0.05	0.01
41	0.06	0.01

ние модуля разности параллаксов? Мы выяснили, что модуль разности параллаксов в TGAS и ХИП достаточно коррелирует с ошибками в параллаксах ХИП. От чего зависит ошибка параллакса звезды? Прежде всего, от числа ее наблюдений. Действительно, схожесть распределения числа наблюдений звезд (рис. 9) и распределения ошибок в параллаксах ХИП (рис. 6) подтверждает это. Подобное распределение числа наблюдений звезд объясняется вращением спутника Hipparcos в течение пребывания на орбите. Вращение спутника подробно рассмотрено в работе «Hipparcos, the New Reduction of the Raw Data» (Floor van Leeuwen, 2007) и изображено на рис. 10

Таблица 2: Статистически значимые коэффициенты разложения разности параллаксов по сферическим функциям в эклиптических координатах

j	δ_j	σ_{δ_j}
0	0.11	0.02
2	-0.14	0.02
3	-0.11	0.02
31	0.09	0.02
46	0.08	0.02

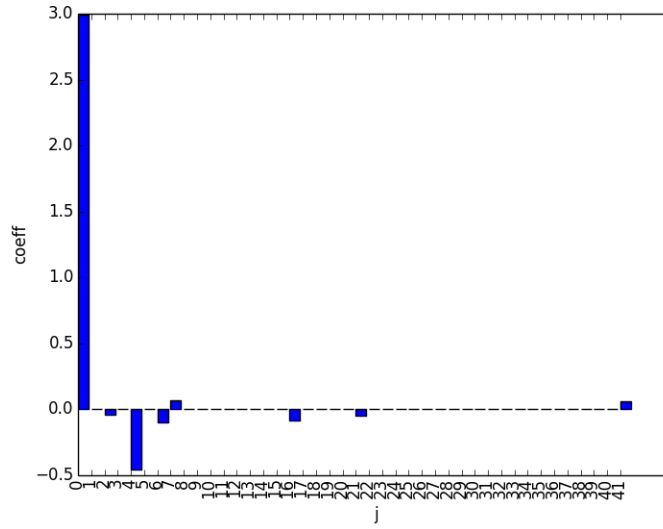


Рис. 7: Статистически значимые коэффициенты разложения модуля разности параллаксов XHIP и TGAS по сферическим функциям

7. Заключение

Мы выяснили, что систематика распределения разности параллаксов XHIP и TGAS обусловлена систематикой распределения ошибки параллаксов именно в XHIP, ошибки параллаксов TGAS практически на эту разность не влияют. Кроме того, мы нашли единственную закономерность в распределении разности параллаксов и показали, что других нет. Оказалось, что в районе эклиптических полюсов разница параллаксов статистически значимо меньше, чем в районе экватора. Объяснение этому нашлось в законе вращения спутника Hipparcos - чем больше он наблюдал звезду, тем точнее у нее вычислялся параллакс в XHIP, и тем ближе этот параллакс оказался к значениям из TGAS.

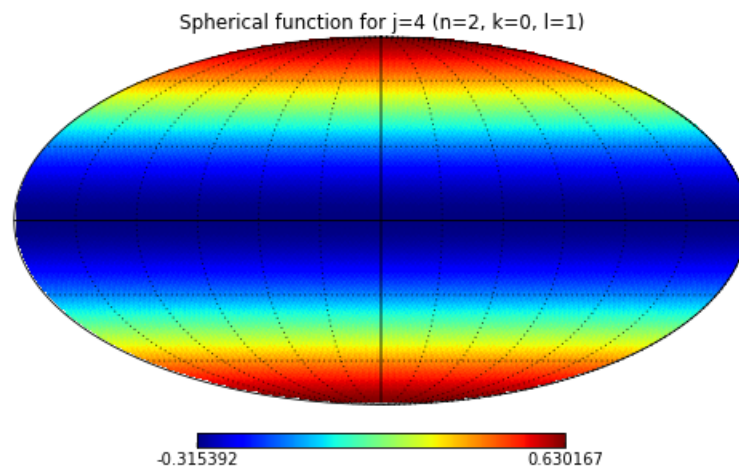


Рис. 8: Сферическая функция K_4 ($K_{(2,0,1)}$).

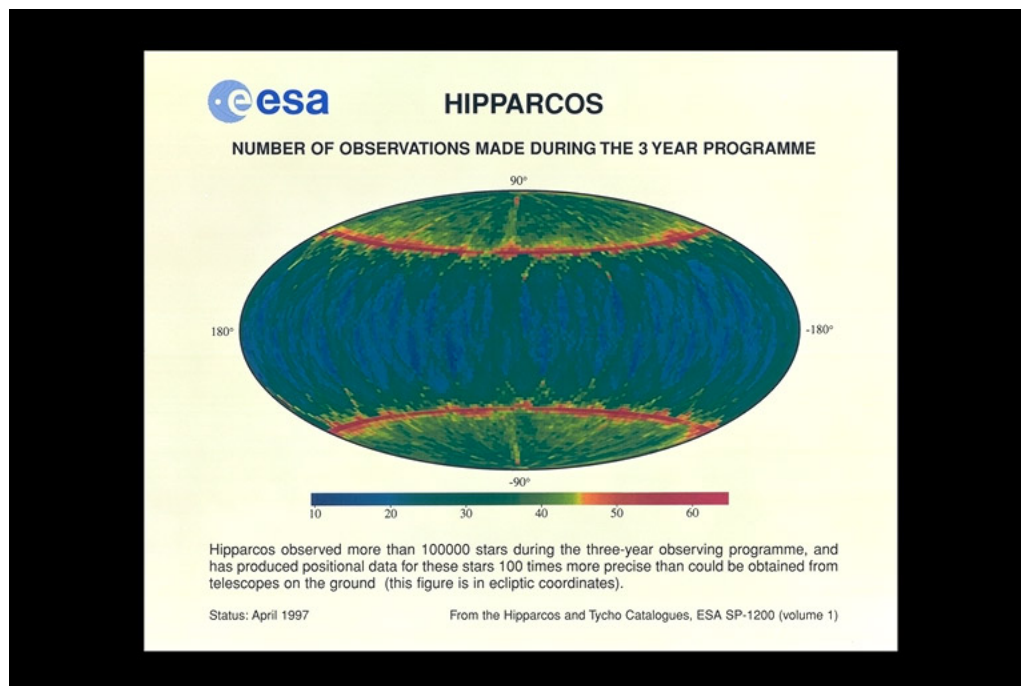


Рис. 9: Распределение числа наблюдений звезд по небесной сфере в эклиптических координатах

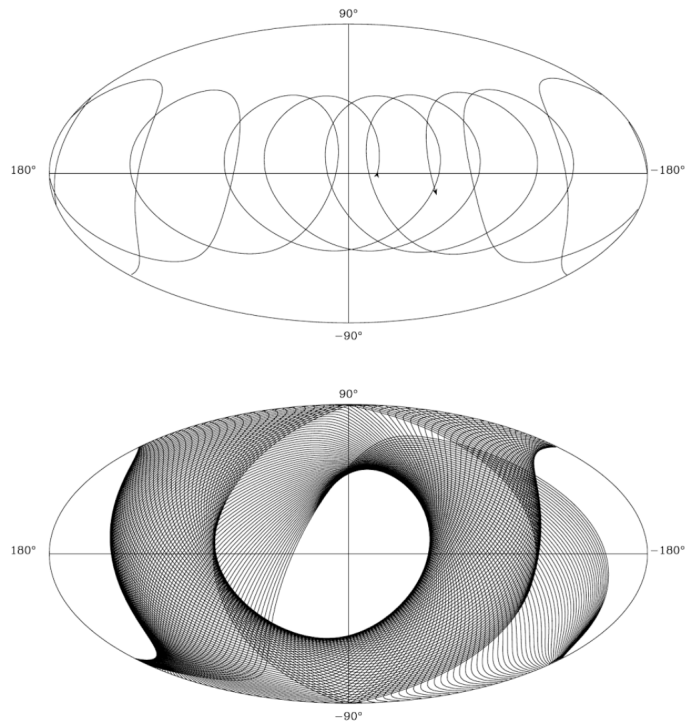


Рис. 10: Движение спутника Pirracos по небесной сфере в эклиптических координатах. Верхний рисунок показывает путь оси вращения с 22 мая 1990 года до 23 сентября 1991 года. Стрелкой обозначено направление движения оси. Нижний рисунок показывает изменение большого круга ориентации спутника за 5 вращений с 22 мая по 14 июля 1990

СПИСОК ЛИТЕРАТУРЫ

1. Арфкен Г., *Математические методы в физике*, (М.: Атомиздат, 1970), с.493.
2. В. В. Витязев, А. С. Цветков, Д. А. Трофимов, Кинематический анализ лучевых скоростей звезд методом сферических функций, Письма в Астрономический журнал, 2014
3. Anderson, E.; Francis, Ch. XHIP: An extended hipparcos compilation, Astronomy Letters, Volume 38, Issue 5, pp.331-346, 2012.
4. В.В.Витязев, А.С.Цветков, Письма в Астрон. журн. **35**, 114, (2009) [V.V.Vityazev, A.S.Tsvetkov, Astron. Lett. **35**, 100 (2009)].
5. В.В.Витязев, А.С.Цветков, Вестн. СПбГУ. Сер. 1. Вып. 2. 138 (2013).
6. Витязев В.В., Цветков А.С., Письма в Астрон. журн. **XX** , XXX (2014) [V.V.Vityazev, A.S.Tsvetkov, Astron. Lett. **XX**, XXX (2014)].
7. Floor van Leeuwen, Hipparcos, the New Reduction of the Raw Data (2008)